

## "مقارنة بين تقنيات مختلفة لعلاج سرطان الثدي"

### " باستخدام العلاج الإشعاعي المطابق (3D – CRT)"

الدكتور آصف يوسف \*

الدكتور بسام سعد \*

سوزان حسن \*\*

(تاریخ الإيداع ٢٠٢٥ /٤ /٢٣ - تاریخ النشر ٢٠٢٥ /٥ /٤)

#### ملخص □

جرى في هذا البحث تقييم توزع الجرعة الإشعاعية باستخدام تقنيات مختلفة تستخدم في علاج أورام الثدي، وهي تقنية مركز معالجة مفرد  $T_1$  وتقنيات مرکزي معالجة  $T_2$  و  $T_3$  و  $T_4$  مع تطبيق حزم نصفية وكاملة لجدار الصدر ومنطقة الترقوة. تم حساب عدد وحدات المراقبة (MU) Monitor Unit وإعطاء منحنيات(جرعة \_ حجم) Dose ومنطقة الترقوة. تم حساب عدد وحدات المراقبة (MU) Monitor Unit وإعطاء منحنيات(جرعة \_ حجم) Dose ومنطقة الترقوة. تم حساب دلائل الجودة للمقارنة بين التقنيات. كما تم حساب الجرعة الممنوحة من الأعضاء السليمة المجاورة للورم والمقارنة بين جرعات  $D_{\min}$  و  $D_{\text{mean}}$  و  $D_{\max}$  لكل خطة علاج. بالإضافة لاستخدام اختبار Wilcoxon لحساب القيمة الإحصائية p-value، وعرض نتائج جميع حجوم الهدف المخططة Planning Target Volume (n = 22PTV) بالشكل: (المتوسط ± الانحراف المعياري) والقيمة الوسطى و القيمة الاحصائية P-value التي تبرز الاختلاف الجوهرى بين التقنيات. أظهرت النتائج أن  $T_1$  نقل عدد وحدات المراقبة MU أي ( $P < 0.05$ )، وتحليل منحنيات جرعة حجم  $T_1$  و  $T_2$  و  $T_3$  و  $T_4$  يبين أن  $T_1$  ثدخل تحسناً للجرعة العظمى  $D_{\max}$  والجرعة الصغرى  $D_{\min}$  و  $V_{100\%}$  و بدون جرعة عالية في منطقة الاتصال، ولا يوجد أي اختلاف جوهري بين التقنيات لجرعة Organs At Risk. ظهر نتائج  $T_1$  توزع جرعة أكثر تجانساً داخل المنطقة المخططة للورم، وأيضاً تغطية الجرعة الموصوفة للهدف المخطط يكون أفضل مما هو عليه في التقنيات الأخرى، وبالتالي يمكننا استخدام  $T_1$  في أنظمة تخطيط المعالجة الإشعاعية لأورام الثدي بدرجة وثوقية عالية.

**الكلمات المفتاحية:** أورام الثدي، المعالجة الإشعاعية المطابقة \_ 3D ، تقنية مركز معالجة مفرد  $T_1$ ، أنظمة تخطيط المعالجة . TPS

\*أستاذ مساعد - قسم الفيزياء - كلية العلوم - جامعة طرطوس - طرطوس - سورية.

\*\* أستاذ - قسم المعالجة الإشعاعية - مستشفى اللاذقية الجامعي - اللاذقية - سورية .

\*\*\*طالبة دراسات عليا (ماجستير) - قسم الفيزياء - كلية العلوم - جامعة طرطوس - طرطوس - سورية.

# Comparison of Different Techniques for Breast Cancer Treatment Using Comformal Radiation Therapy (3D – CRT)

Dr. Asif Youssef\*

Dr. Bassam Saad\*\*

Suzan Hasan\*\*\*

(Received 5/2/2025.Accepted 23/4/2025)

## □ABSTRACT □

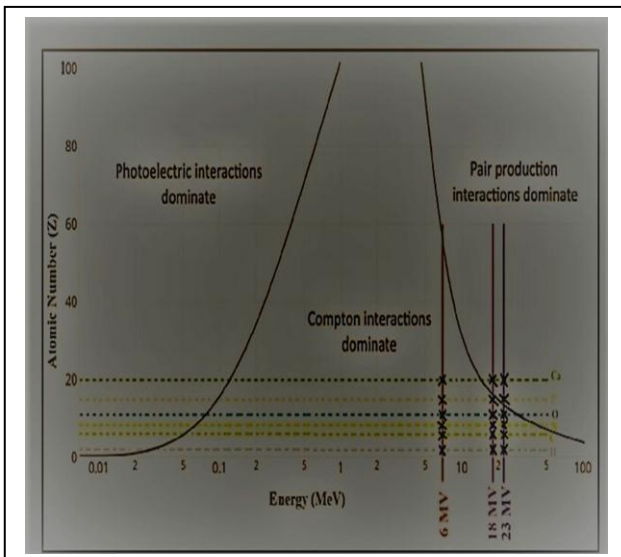
In this research, the radiation dose distribution of different techniques used in the treatment of breast tumors, namely single treatment center  $T_1$  and two treatment center  $T_2$ ,  $T_3$  and  $T_4$  with the application of half and complete beams to the chest wall and clavicle area, were evaluated. The number of Monitor Units (MU) was calculated, Dose Volume Histograms (DVHS) were given, analyzed, and quality indicators were calculated for comparison between techniques. The dose of healthy organs adjacent to the tumor was also calculated and the doses of  $D_{min}$ ,  $D_{mean}$  and  $D_{max}$  were compared for each treatment plan. In addition to using the Wilcoxon test to calculate the p-value statistic, and display the results of all planned target sizes ( $n = 22PTV$ ) in the form: (Average  $\pm$  standard deviation), mean value and statistical value P-value that highlight the fundamental difference between the techniques. The results showed that  $T_1$  reduces the number of MUs ( $P < 0 \cdot 05$ ), analysis of volume dose curves for  $T_1$ ,  $T_2$ ,  $T_3$  and  $T_4$  shows that  $T_1$  Intervention for maximum dose  $D_{max}$  and minimum dose  $D_{min}$ ,  $V_{100\%}$  and  $D_{95\%}$  without high dose in the contact area, and there is no significant difference between the techniques for the dose of OAR Organs At Risk. The results of  $T_1$  show a more homogeneous dose distribution within the planned area of the tumor, and also the dose coverage prescribed for the planned target is better than in other techniques, so we can use  $T_1$  In radiation therapy planning systems for breast tumors with a high degree of reliability.

**Key Words:** breast tumors, comformal radiotherapy \_ 3D , single treatment center technology  $T_1$  , treatment planning systems TPS.

\*Assistant Professor, department of physics, Faculty of science, Tartous University, Tartous, Syria.

\*\* Professor, department of Radiotherapy, Lattakia University Hospital, Lattakia, Syria.

\*\*\* Postgraduate student, Department of physics, Faculty of Sciences, Tartous University, Tartous, Syria.



الشكل (١): يمثل تبعية التفاعلات الرئيسية للفوتون مع طاقة الحزمة والعدد الذري لمادة الوسط.

## مقدمة:

يُعد سرطان الثدي من أكثر الأورام شيوعاً وانتشاراً حول العالم. يستخدم لعلاج سرطان الثدي أنواع مختلفة للعلاجات ومنها العلاج الإشعاعي.

تعتمد فكرة المعالجة الإشعاعية على التهديد الذي يحدث بالإشعاع المؤين في الحمض النووي (DNA) الخلية، ونستخدم في مجال دراستنا الإشعاع المؤين الفوتوني. هذه الفوتونات تمتلك طاقة تقدر بـ ( $J$ ) تساوي إلى:

$$E = h * v$$

حيث ( $h$ ) هي ثابت بلانك يقدر بـ ( $S * J$ ) و ( $v$ ) تواتر الإشعاع يقدر بـ ( $S^{-1}$ ). تتفاعل الفوتونات مع أنسجة المريض، على اختلاف مكوناتها وعناصرها المتمايزة بعدها الذري ( $Z$ ) بآليات مختلفة ومن أهم هذه التفاعلات المفعول الكهرومغناطيسي (Photoelectric Effect) ومفعول

كومبтон (Compton Effect) ومفعول توليد الأزواج إلكترون-بوزيترون (Pair Production) فتنقل طاقة هذه الفوتونات إلى إلكترونات ذرات (DNA) (تفاعل مباشر) أو إلى إلكترونات التي نتجت في أثناء عملية التفاعل مع جزيئات ( $H_2O$ ) في هيولى الخلية (تفاعل غير مباشر)، لينتج لدينا إلكترونات وجزيئات مؤينة (جذور حرة) تتفاعل بدورها مع (DNA) الخلية السرطانية وهذا يعبر عن آلية إيداع الجرعة في الأنسجة [١].

يعتمد نجاح ودقة تخطيط المعالجة الإشعاعية في أورام الثدي على عاملين مهمين الأول: تغطية المنطقة المراد تشعيتها بشكل كامل أثناء المعالجة لذلك يتم تقسيم منطقة المعالجة في الثدي إلى منطقتين: تضم المنطقة الأولى الثدي المصاب أو جدار الصدر (Chest Wall) مع سرير الورم (Tumor Bed) (TB)، وتضم المنطقة الثانية

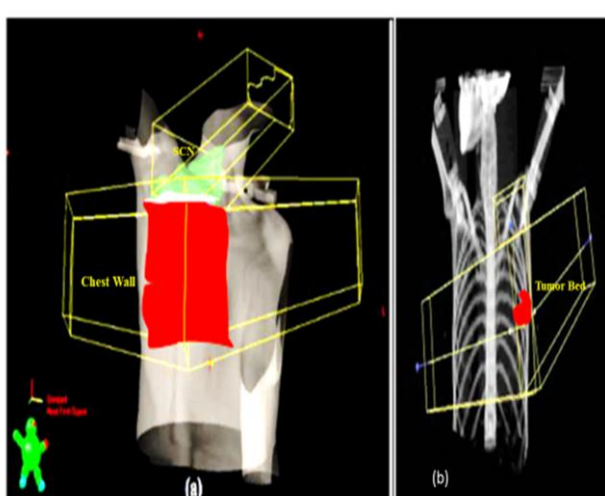
العقد اللمفاوية فوق الترقوة (Supraclavicular(SCN))، وكلا المنطقتين لها أشكال وأعماق مختلفة [٢,٣].

العامل الثاني: إيصال الجرعة الموصوفة للورم بدقة عالية من خلال طريقتين:

أ. استعمال حقول إشعاعية بطاقات معينة تناسب أبعادها شكل منطقة المعالجة وعمقها.

أ.ii. موقع مركز المعالجة لكل منطقة.

يبين الشكل (٢) تطبيق حقول فوتونية مماسية على المنطقة الأولى جدار الصدر وسرير الورم لحماية الرئة المجاورة والقلب، بينما يطبق على المنطقة الثانية حقول فوتونية أمامية أو أمامية خلفية مائلة لحماية النخاع الشوكي



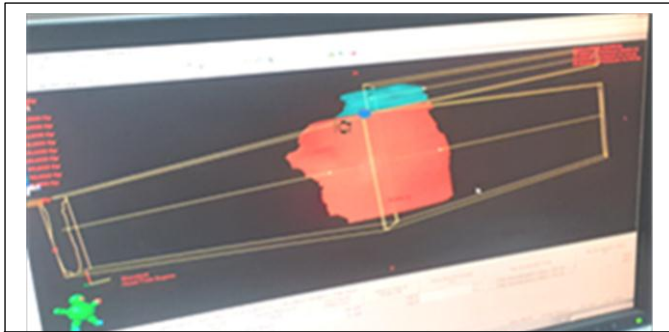
الشكل (٢): (a) حقلان مماسيان لمعالجة منطقة جدار الصدر chest wall وحقل أمامي مائل لمعالجة منطقة فوق الترقوة SCN. (b) حقلان مماسيان متواكسان لمعالجة منطقة سرير الورم Tumor Bed.

[5]. تتشكل بين المنطقتين السابقتين منطقة اتصال Junction Area (JA) تتقاطع فيها حقول المعالجة مما يؤدي لتوزع جرعة غير متجانس. [4].  
أما بالنسبة لمركز المعالجة فتم دراسة أربع تقنيات تعتمد على تغيير موقع مركز المعالجة IsoCenter (IC) لحل مشكلة عدم التجانس وهي [5-8] :

#### تقنية المعالجة الإشعاعية بمركز مفرد مع حزم نصفية $T_1$ :

يتم وضع مركز المعالجة في منطقة اتصال الحقول عند الحافة السفلية لرأس الترقوة. تتولد حقول منطقة الترقوة باستعمال الحزم النصفية حيث يتم ضبط الفك السفلي للحقول على الوضعية  $Y_1 = 0$ . تتولد الحقول المماسية لمنطقة جدار الصدر باستعمال حزم نصفية حيث تم ضبط الفك العلوي للحقول على الوضعية  $Y_2 = 0$  كما في الشكل

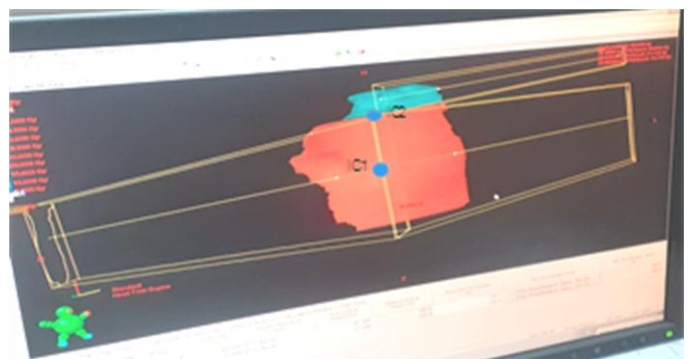
( . 3)



الشكل(3): يمثل تقنية المعالجة بمركز واحد IC1 يقع في منتصف منطقة الاتصال مع تطبيق حزم نصفية لجدار الصدر ومنطقة الترقوة.

#### تقنية المعالجة الإشعاعية بمركزي معالجة مع حزم نصفية $T_2$ :

يوضع مركز معالجة في كل منطقة، وتطبق حقول المعالجة باستعمال نصف حزمة لكل منها. يتموضع مركز المعالجة لمنطقة جدار الصدر في منتصف المسافة بين الحد العلوي والسفلي لساحة المعالجة، حيث يضبط الفك الخلفي على الوضعية  $Y_2 = 0$  لتقليل جرعة الرئة والقلب. يتموضع مركز المعالجة الثاني في منطقة فوق الترقوة في الحد السفلي لساحة في منتصف منطقة الاتصال ويضبط الفك السفلي للمحدد على الوضعية  $Y_1 = 0$ ، كما في الشكل (4).



الشكل(4): يمثل تقنية المعالجة بمركزين مع تطبيق حزم نصفية حيث IC1 مركز معالجة يقع في منتصف WC، IC2 مركز معالجة يقع في منتصف منطقة الاتصال .

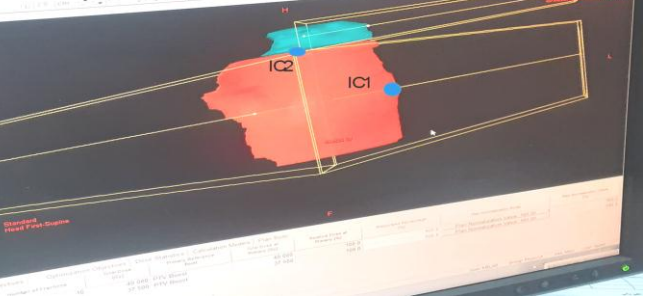
### تقنية المعالجة الإشعاعية بمركري معالجة مع حزم نصفية : $T_3$

لكل منطقة مركز معالجة IC، تتولد حقول المعالجة باستعمال نصف حزمة. يتموضع مركز المعالجة لمنطقة جدار الصدر في الثدي في منتصف المسافة بين الحد العلوي والسفلي لساحة المعالجة، حيث يضبط الفك الخلفي على الوضعيه  $Y_1 = 0$  ،  $Y_2 = 0$  لتقليل جرعة الرئة والقلب. يتموضع مركز المعالجة لمنطقة فوق الترقوة أيضاً في منتصف المسافة بين الحد العلوي والسفلي لساحة المعالجة ويبطىء الفك السفلي للمحدد على الوضعيه  $Y_1 = 0$  ، كما هو موضح بالشكل (5).



الشكل(5): يمثل تقنية المعالجة بمركري مع تطبيق حزم نصفية حيث مركز معالجة يقع في منتصف WC ، IC2 مركز معالجة يقع في منتصف SCN

جدار الصدر في منتصف الحافة اليسرى لجدار الصدر، حيث تكون الفكوك على الوضعيه ( $X_1X_2 Y_1Y_2$ ) .  
يتموضع مركز المعالجة لمنطقة فوق الترقوة في الحد السفلي للساحة في منتصف منطقة الاتصال وتكون الفكوك على الوضعيه ( $X_1X_2 Y_1Y_2$ ) ، كما هو موضح بالشكل (6).



الشكل(6): يمثل تقنية المعالجة بمركري مع تطبيق حزم كاملة حيث IC1 مركز معالجة يقع في الحافة اليسرى لجدار الصدر، IC2 مركز معالجة يقع في منتصف منطقة الاتصال.

عن مركز المعالجة IC فينطبق المركز الفعلي للساحة Effective Field Center (EFC) على IC وتدعى هنا الحزمة المطبقة بالكاملة، يوضحها الشكل (7).

-ساحات الحقل غير المتاظرة (ASF): تكون في حالة اختلاف أحد أبعاد

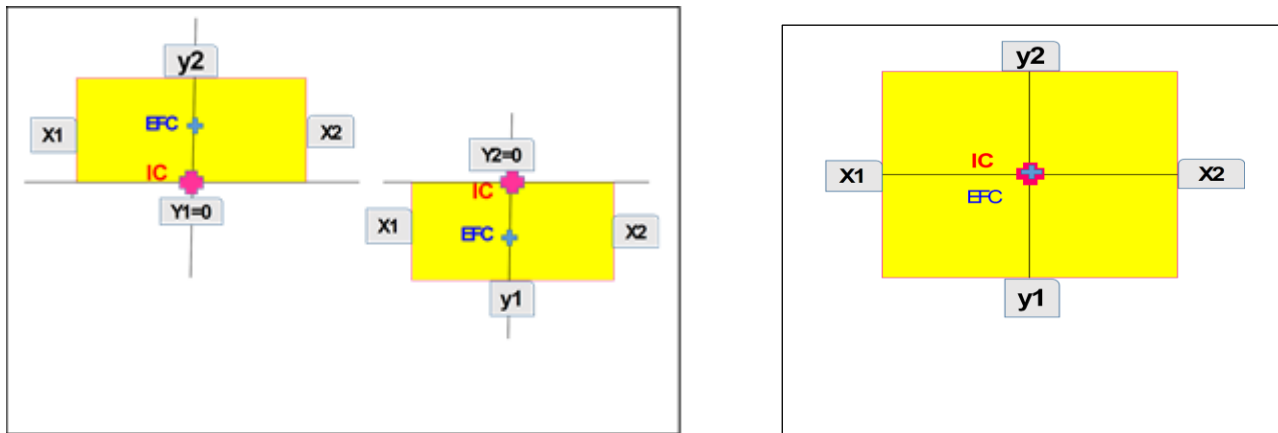
المحددات الثانوية وبالتالي لا ينطبق EFC على IC، وتدعى الحزمة المطبقة بالنصفية عندما يكون أحد تلك

الأبعاد يساوي الصفر ( $x_2 = 0$  أو  $y_2 = 0$  أو  $x_1 = 0$  أو  $y_1 = 0$ ) يوضحها الشكل (7 - b).

## الغرض من البحث وأهميته:

تقييم تقنيات تخطيط المعالجة الإشعاعية (3D – CRT) و اختيار التقنية التي تومن أفضل تعطية وتجانس في منطقة الورم وأكبر حماية للأعضاء المجاورة للثدي.

## أساليب البحث ومواده:



الشكل (7): يمثل (a) ساحات الحقل المتناظرة، (b) ساحات الحقل غير المتناظرة.

تم في هذا البحث ما يلي:

- العمل على المسرع الخطي الطبي Varian Clinac IX المتوفّر في مستشفى تشرين الجامعي في اللاذقية الذي يصدر نوعين من الحزم الفوتونية بطاقيتين  $6MV$  و  $23MV$   
\* ملاحظة: ( $6MV$ ): دلالة على استخدام حزم فوتونية بينما ( $6MeV$ ): دلالة على استخدام حزم إلكترونية في المعالجة.

- وضع أربع خطوط معالجة لحجوم هدف مخططة تخص 8 مرضى.  
كما جرى تصوير المرضى باستعمال جهاز الطيفي المحوري المحوسّب بوضعيّة الاستلقاء على الظهر ويتم المحافظة على نفس الوضعيّة في كل جلسة معالجة، ثم نقل الصور ثلاثيّة الأبعاد إلى نظام تخطيط المعالجة من نوع (Varian, version.10) Eclipse® TPS الموجود في مستشفى اللاذقية.

- بالاعتماد على نظام تخطيط المعالجة TPS جرى تحديد حجوم منطقة الورم ثلاثيّة الأبعاد 3D الموضحة بالشكل (8) والجدول (1)، حيث:

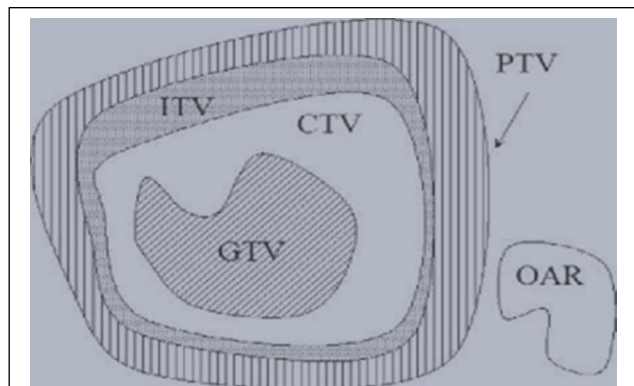
➤ GTV حجم الورم العياني أي الخلايا الورمية الواضحة عيانيًا.

➤ CTV حجم الهدف السريري يشمل هامش إضافي وفق الآتي:

$$CTV = GTV + 0.5(cm)$$

➤ ITV هو حجم CTV مضاد إليه هامش داخلي يأخذ بالحسبان الاختلافات النسبية في حجم CTV أثناء حركة أعضاء المريض بسبب التنفس.

➤ PTV = CTV + 1(cm) PTV حجم الهدف المخطط يشمل:



الشكل (٨): يوضح الااحجام المستهدفة والمعرضة للخطر في خطة العلاج.

➤ OAR الأعضاء المتضررة المجاورة للثدي.

الجدول (١): حجم OAR و PTV و CTV باستعمال النظام TPS [٩].

الثدي الم مقابل	النخاع الشوكي *	القلب	الرئة المجاورة	PTV	CTV	الحجم
770 · 2	23 · 8	815 · 8	894 · 6	708 · 1	532 · 1	cm <sup>3</sup>

\* جزء من حجم النخاع الشوكي (تم رسم منطقة النخاع القريبة من الورم فقط).

استخدام برنامج Eclipse : يتم حساب الجرعة ثلاثية الأبعاد باستخدام خوارزمية Anisotropic Analytical Algorithm (AAA) حيث تتألف من قسمين [١٠]:

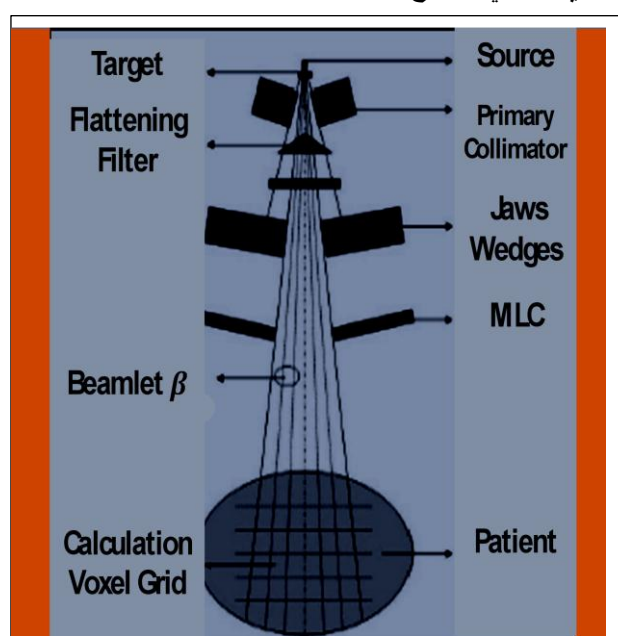
- خوارزمية هيكلية للجرعة (the configuration algorithm)

تُستخدم هذه الخوارزمية لتوصيف الحزمة الإشعاعية بناءً على نوع الجسيمات والتدفق والطاقة. تخزن هذه المعلومات ضمن ملف يدعى (Phase Space File "PSF")، الذي يتم إنشاؤه بواسطة نموذج متعدد المصادر يتكون من: منبع الفوتونات الأساسي، منبع فوتونات بؤري إضافي، ومنبع إلكترونات التلوث.

٢- خوارزمية حساب الجرعة (Dose calculation algorithm) يتم فيها:

- تقسيم جسم المريض إلى شبكة من المكعبات الحسابية تدعى بالعناصر الحجمية (voxel) يتم تحديد حجمها وفقاً لشبكة الحساب المختارة.
- تقسيم الحزمة الإشعاعية التي تدخل جسم المريض إلى حزم صغيرة (Beamlets) أحادية الطاقة، من خلال إنشاء ما يُعرف بنواعة الحزمة الضيقية (Pen Beam Kernel)، حيث تكون أبعاد الحزمة الصغيرة متوافقة مع أبعاد العناصر الحجمية كما يوضح الشكل (٩).

تجري المقارنة بين تقنيات التخطيط المختلفة لأورام الثدي باعتبار قيم  $T_2$  و  $T_3$  و  $T_4$  قيم مرجعية للمقارنة مع قيم  $T_1$  وذلك



الشكل (٩): مخطط يوضح محاكاة الحزمة الإشعاعية بواسطة خوارزمية الحساب AAA.

### **باستخدام العلاقات الآتية:**

$$\Delta Dose (\%) = \frac{(D_1 - D_2)}{D_2} \times 100 \quad \dots \dots \dots (1)$$

$$\Delta Dose (\%) = \frac{(D_1 - D_4)}{D_4} \times 100 \quad \dots \dots \dots \quad (3)$$

حيث  $D_1$  و  $D_2$  و  $D_3$  و  $D_4$  الجرعة المودعة في الورم بكل تقنية وكل مريض.

وتدل قيم  $\Delta Dose\%$  الموجبة على أن الجرعة المحسوبة باستعمال  $T_1$  أعلى من تلك المحسوبة باستعمال  $T_2$  و  $T_3$  و  $T_4$  والقيمة السالبة بالعكس.

❖ لتقدير تقييم التخطيط نضع أربع خطط علاج لكل مريض باستخدام إحدى التقنيات الموضحة سابقاً ونجري الحسابات ونقارن حسب القيم المرجعية للبروتوكولات المتبعة في مستشفى اللاذقية الجامعي.

**أولاً:** حساب عدد وحدات المراقبة (زمن المعالجة) :Monitor Unit(MU)

هي عبارة عن عدد التأينات التي تحدث ضمن حجرة التأين، ويكافئ حساب زمن التشيع لكل حقل معالجة. فالحزمة الصادرة عن المسرع الخطي تعاير قبل بدء عملية المعالجة لتعطي ( $MU = 100Gy$ ). و يتم حساب عدد وحدات المراقبة بالعلاقة [11] :

$$\text{MU} = \frac{\text{Dose} * 100}{CF * TPR * S_C * S_P * OAR * ICF * BCF} \quad \dots (4)$$

حيث: Dose: الجرعة المطلوبة عند المحور المركزي.

TPR: نسبة الجرعة عند العمق المطلوب  $D_d$  إلى الجرعة عند العمق المرجعي  $D_{dref}$ .

النسبة نسيج مجسم TPR تحسب نظرياً من المعادلة الآتية [12]:

$$\text{TPR} = \frac{D_d}{D_{dref}} \quad \dots\dots (5)$$

CF: معامل المعايرة.

٥: معامل تصحيح التباين الناتج عن رأس المسرع.

*S<sub>P</sub>*: معامل تصحيح التبعثر الناتج عن المجسم (الفانтом).

OAR: معامل تصحيح الجرعة خارج المحور المركزي.

**ICF: معامل تصحيح عدم التحAnsس:**

## BCF: معامل تصحيح الحب.

ثانياً: منحنيات كمية الدواعنة (DVHs) حجم

تعطي معلومات دقيقة عن توزع الجرعة الإشعاعية  $3D$  ضمن المريض وقيمة الجرعة في كل نقطة من نقاطه.

تمكنا من تحديد: الجرعة الصغرى  $D_{min}$ ، الجرعة الوسطية  $D_{mean}$ ، الجرعة العظمى  $D_{max}$ ، حساب جرعة 95% من حجم PTV ( $D_{95\%}$ ) بالإضافة لحجم PTV الذي استلم 100%. 95% من الجرعة الموصوفة ( $V_{95\%}$  :  $V_{100\%}$ ) على الترتيب.

### **ثالثاً: مؤشرات الجودة : Quality Indexes**

- لتقدير خطة المعالجة لكل تقنية تم حساب دليل المطابقة (CI) Conformity Index ودليل تعطية الهدف (TCI) Target Coverage Index ودليل تجانس الجرعة (HI) Heterogeneity Index ضمن PTV، من خلال العلاقات [13]:

حجم الهدف الذي استلم 95% من الجرعة الموصوفة.  $PTV95\% PD$

$$TCI = \frac{PTV_{PD}}{PTV} \dots \dots \dots (7)$$

حجم الهدف الذي استلم الجرعة الموصوفة PTV<sub>PD</sub>

$$HI = \frac{D_{5\%}}{D_{95\%}} \dots \dots \dots (8)$$

حيث يمثل  $D_{95\%}$ ,  $D_5$  الجرعة التي يستلمها 95% من حجم الهدف المخطط PTV على الترتيب.

#### **رابعاً: التحليل الإحصائي Statistical Analysis**

نستخدم البرنامج الإحصائي SPSS لحساب القيمة الاحصائية P-value باعتماد الاختبار Wilcoxon

### .Signed Rank

ملحوظة: نجري الاختبار الإحصائي بنسبة خطأ لا تتجاوز 5% =  $\alpha$  ما يعادل درجة وثوقيه [14].  
للقيمة الإحصائية P-value حالتي:

- إذا كان ( $P - \text{value} > 0.05$ ) فلا يوجد اختلاف جوهري عند المقارنة بين التقنيتين.
  - أما إذا كانت ( $P - \text{value} < 0.05$ ) فهناك اختلاف جوهري بين التقنيتين.

لإظهار الاختلاف بين نتائج خطط المعالجة المنجزة واعتباره ذو أهمية واختيار الأفضل نحسب بالإضافة لـ  $P$ -value القيمة الوسطى والمتوسط الحسابي وأيضاً الانحراف المعياري من العلاقة:

$$SD = \sqrt{\frac{1}{10-1} \sum_{i=1}^{10} (D_i - \bar{D})^2} \quad \dots \dots \dots \quad (9)$$

وسيتم عرض النتائج بالشكل (المتوسط  $\pm$  الانحراف المعياري).

النوصيات المعتمد بها في مركز معالجة الأورام في مستشفى اللاذقية الجامعي حيث تم

3

## إجراء البحث:

تم التقييم بناءً على توصيات المنظمة الدولية للوحدات الإشعاعية (ICRU)، كما يلي [15]:

- جرعة الهدف يجب أن تكون بين 5% - و 7% من الجرعة الموصوفة.
  - 100% من حجم الهدف يجب أن يأخذ على الأقل 95% من الجرعة الموصوفة.
  - ألا تتجاوز جرعة الأعضاء المتضررة OAR السليمة المجاورة للورم الحدود المسموح بها، حسب مركز معالجة الأورام في مستشفى اللاذقية حيث تم إجراء هذا البحث، كما هو موضح بالجدول (2).

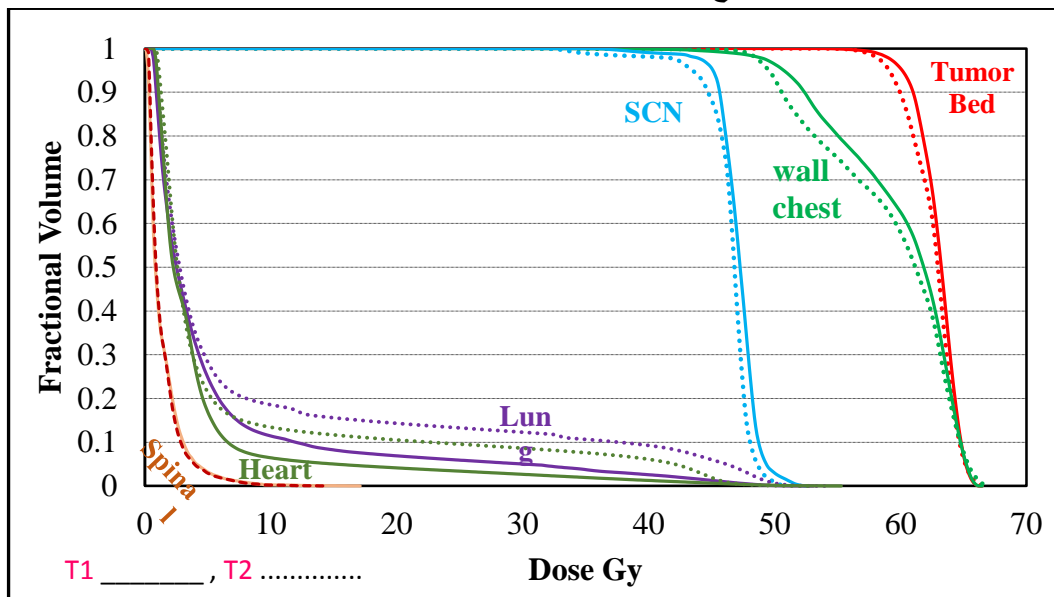
**الجدول (2): جرعات التحمل للأعضاء المتضررة OAR [16]**

جرعة 20% من حجم الرئة يجب ألا تتجاوز $30\text{Gy}$ .	الرئة
الجرعة القصوى $35\text{Gy}$ على كامل القلب.	القلب:
الجرعة القصوى $45\text{Gy}$ في أي نقطة منه.	النخاع الشوكي:

- تأخذ  $D_{\min}$  القيمة من 0 إلى الجرعة الموصوفة (PD) وكلما كانت كبيرة وقريبة من PD كانت التقنية أفضل.
- أما  $D_{\max}$  تأخذ القيمة من PD حتى 115% وكلما كانت صغيرة وقريبة من PD كانت التقنية أفضل.
- تأخذ CI, TCI القيمة من 0 إلى 1 وكلما كانت قريبة من 1 كان شكل منحنيات DVHs أكثر تجانساً.
- أفضل وأصغر قيمة تأخذها HI هي 1 وكلما كانت أكبر يعني هناك جرعة عظمى زائدة أكبر من الجرعة الموصوفة [27-29].

#### النتائج والمناقشة:

نبأ النتائج بمثال : لأحد منحنيات (الجرعة - حجم) DVH الذي يتضمن حجوم الهدف المخططة والأعضاء المتوقع تضررها OAR للمريض (1) التي تم استنتاج القيم التجريبية منها، و يوضح المثال مقارنة بين الخطوط البيانية للتقنية الأولى  $T_1$  مع الخطوط البيانية للتقنية الثانية  $T_2$  الشكل (10).



الشكل (10): منحنيات DVH للمريض 1 . من أجل  $T_1$  و  $T_2$  . يلاحظ الاختلاف الواضح بين التقنيتين.

حساب عدد وحدات المراقبة MU: تم ذلك باستخدام العلاقة (4) ويعبر عن النتائج بالجدول (3).

الجدول(3): يمثل عدد MU لجميع المرضى باستعمال  $T_1$  و  $T_2$  و  $T_3$  و  $T_4$  وقيمة الاختلاف (%)

Patient	T1	T2	T3	T4	$\Delta Dose(T1.T2)$	$\Delta Dose(T1.T3)$	$\Delta Dose(T1.T4)$
1	703	739	725	744	-4.8714	-3.034	-5.5107
2	440	434	442	438	1.3373	-0.452	0.4566
3	682	673	678	683	-0.6954	0.589	-0.1464
4	714	719	720	723	-3.523	-0.833	-1.2448
5	712	738	743	740	-5.3476	-4.1722	-3.783
6	708	748	736	742	-3.0702	-3.8043	-4.5822
7	442	456	462	458	-2.3504	-4.329	-3.4934
8	457	468	464	471	-2.6089	-1.5086	-2.9723

Average $\pm$ SD	-2.7 $\pm$ 2.3%	-2.2 $\pm$ 2.1%	-2.6 $\pm$ 2.4%
Median	3.1%	2.90%	2.98%
p-value	0.04	0.03	0.02

نلاحظ من خلال قيمة (المتوسط  $\pm$  الانحراف المعياري) والقيمة الوسطى و القيمة الاحصائية P-value، أن المعالجة باستعمال  $T_1$  تُعطي عدد MU أقل منه في حالة  $T_2$  و  $T_3$  و  $T_4$ . هذه القيمة الأقل لعدد MU بسبب الحاجة لإعطاء حقول أكثر عند استعمال تقنيات بمركزى معالجة  $T_2$  و  $T_3$  و  $T_4$  واختلاف أبعاد ساحة المعالجة المطبقة أو ما يعرف بفتحة محدد الحزمة.

**منحنيات (الجرعة - حجم DVHs):** كانت نتائج  $D_{95\%}$  و  $V_{100\%}$  و  $V_{95\%}$  من خلال منحنيات DVHs

لجميع المرضى بالشكل الآتي:

الجدول(4): يمثل حساب جرعة 5% و 95% من حجم PTV بالإضافة لحجم PTV الذي استلم 100%. DVHs: (D95% و D5%) في منطقة CW . CW في منطقة جدار الصدر (V95% و V100%).

Chest Wall	D95%				D5%			
	T1	T2	T3	T4	T1	T2	T3	T4
1	50.79	49.28	48.32	48.89	63.818	64.09	66.65	65.85
2	48.03	47.6	46.75	47.88	53.376	52.39	52.44	53.02
3	51.84	50.45	50.3	50.21	66.063	65.33	64.87	65.01
4	50.4	48.95	48.961	49.4	64.691	63.99	63.752	63.22
5	49.89	50.81	51.64	50.78	63.902	64.8	65.18	64.82
6	50.99	49.75	48.63	48.75	65.316	65.45	66.19	65.79
7	48.52	47.58	47.13	46.91	53.094	53.78	53.96	54.34
8	47.95	48.2	48.52	49.23	53.605	54.29	55.106	54.98

Chest Wall	V100%				V95%			
	T1	T2	T3	T4	T1	T2	T3	T4
Patient								

1	96.295	93.712	94.63	94.88	98.78	97.04	96.68	96.83
2	76.789	56.062	63.29	66.41	96.1	95.29	95.12	94.74
3	97.893	96.353	96.17	96.28	99.13	99.16	99.26	99.52
4	96.176	91.534	92.73	92.36	99.06	97.48	96.83	97.43
5	94.417	98.15	96.27	97.48	98.42	99.75	98.63	99.28
6	96.882	93.533	94.14	94.63	98.91	99.48	99.3	99.43
7	70.204	72.229	73.62	72.85	98.26	95.34	95.84	96.62
8	71.362	75.349	75.02	74.93	96.8	96.46	95.98	96.34

قنا بحساب قيم اختلاف  $\Delta Dose - V100\%$  و  $\Delta Dose - V95\%$  و  $\Delta Dose - V5\%$  و  $\Delta Dose - CW$  لجميع المرضى في منطقة CW وفق الجدول (5). تم حساب  $\Delta Dose - V100\%$  من المعادلات (3.2.1) على الترتيب. القيم السالبة تعنى أن القيمة المحسوبة باستعمال  $T_2$  و  $T_3$  و  $T_4$  أكبر منها باستعمال  $T_1$ .

الجدول (5): يمثل قيم اختلاف  $\Delta Dose - V100\%$  و  $\Delta Dose - V95\%$  و  $\Delta Dose - V5\%$  و  $\Delta Dose - CW$  لجميع المرضى في منطقة CW.

Chest Wall												
$\Delta Dose - D5\%$			$\Delta Dose - D95\%$			$\Delta Dose - V95\%$			$\Delta Dose - V100\%$			
T1,T2	T1,T3	T1,T4	T1,T2	T1,T3	T1,T4	T1,T2	T1,T3	T1,T4	T1,T2	T1,T3	T1,T4	
-0.42	-4.25	-3.09	3.06	5.11	3.88	3.07	2.18	2.02	-	1.76	1.49	
1.40	1.78	0.67	5.54	2.73	0.31	-0.19	1.03	1.34	12.7	21.3	15.63	
1.88	1.84	1.62	0.89	3.05	3.24	0.33	-0.13	-0.39	5.58	1.79	1.68	
0.69	1.47	2.33	0.73	2.93	2.02	0.2	2.3	1.45	2.05	3.72	4.13	
1.12	-1.96	-1.42	2.74	-3.4	-1.75	-1.34	-0.22	-0.87	-3.8	-1.92	-3.14	
0.63	-1.32	-0.7	2.44	4.85	4.59	0.05	-0.39	-0.52	18.5	2.91	2.38	
1.09	-1.61	-2.29	2.95	2.96	3.44	-0.57	2.53	1.7	3.58	-4.87	-3.63	
-0.70	-2.72	-2.5	-0.15	-1.2	-2.6	3.99	0.85	0.47	7.73	-4.88	-4.76	

Average $\pm$ SD	0.71 $\pm$ 0.8	- $\pm$ $\pm$	- $\pm$ 1.7	2.27 $\pm$ 2.9	2.13 $\pm$ 2.7	1.64 $\pm$ 1.8	0.69 $\pm$ 1.2	1.02 $\pm$ 1.1	0.65 $\pm$ 1.1	5.45 $\pm$ 7.5	2.47 $\pm$ 8.3	1.73 $\pm$ 6.5
Median	0.89	-	-	2.58	2.94	2.63	0.13	0.94	0.91	4.58	1.77	1.58
p-value	0.46	0.32	0.38	0.02	0.04	0.051	0.11	0.19	0.25	0.01	0.03	0.02

الجدول (6): يمثل جرعة 5% و 95% من حجم PTV (D95% و D5%) بالإضافة لحجم PTV الذي استلم 100%. 95% من الجرعة الموصوفة (V95% . V100%) في منطقة فوق الترقفة SCN.

Supraclavicular	D95%				D5%			
Patient	T1	T2	T3	T4	T1	T2	T3	T4
1	43.64	41.35	40.872	41.032	48.38	47.71	46.72	47.37
2	44.4	44.08	43.59	42.87	50.62	50.27	50.17	49.81
3	44.78	43.72	43.68	42.791	47.93	47.63	46.79	47.12
4	44.04	44.1	44.754	45.08	49.76	50.11	50.79	51.04
5	45.29	44.96	44.86	44.305	49.12	52.58	50.32	51.08
6	45.23	43.62	43.662	43.513	49.44	48.7	47.74	48.38
7	45.04	44.88	43.959	44.627	48.5	48.76	49.94	49.3
8	45.81	45.61	44.977	45.279	48.78	49.26	49.56	50.19

Supraclavicular	V100%				V95%			
Patient	T1	T2	T3	T4	T1	T2	T3	T4
1	73.35	36.97	62.37	43.92	94.79	83.13	90.82	88.15
2	79.022	73.29	74.8	76.81	98.07	97.32	97.52	96.84
3	78.93	71.44	73.61	74.29	99.13	99.16	99.34	98.64
4	81.38	70.86	78.73	76.54	95.96	97.08	97.16	96.55
5	89.33	75.33	77.28	84.92	97.86	97.81	96.75	97.09
6	85	78.9	81.07	83.17	98.18	94.78	96.82	93.65
7	84.357	74.84	79.24	75.88	98.89	99.08	99.37	98.5
8	92.95	91.09	90.18	91.3	99.85	99.65	98.77	97.89

قمنا بحساب قيم اختلاف  $\Delta Dose - D95\%$  و  $\Delta Dose - V95\%$  و  $\Delta Dose - V100\%$  و  $\Delta Dose - SCN$  وفق الجدول (7). تم حساب  $\Delta Dose\%$  من المعادلات على الترتيب. القيم السالبة تعني أن القيمة المحسوبة باستعمال  $T_2$  و  $T_3$  و  $T_4$  أكبر منها باستعمال  $T_1$ . (3.2.1)

الجدول (7): يمثل قيم اختلاف  $\Delta Dose - D95\%$  و  $\Delta Dose - V95\%$  و  $\Delta Dose - V100\%$  و  $\Delta Dose - SCN$  في منطقة جميع المرضى في منطقة SCN.

Supraclavicular												
$\Delta Dose - D5\%$			$\Delta Dose - D95\%$			$\Delta Dose - V95\%$			$\Delta Dose - V100\%$			
T1,T2	T1,T3	T1,T4	T1,T2	T1,T3	T1,T4	T1,T2	T1,T3	T1,T4	T1,T2	T1,T3	T1,T4	
- 1.38	3.55	2.13	- 1.81	6.77	6.31	-0.04	4.37	7.53	1.59	17.6	14.75	
- 6.56	0.89	1.62	0.75	1.85	3.56	4.34	0.56	1.27	10.49	5.64	2.88	
- 0.21	2.44	1.72	2.49	2.52	4.65	1.62	-0.21	0.49	5.07	7.23	6.25	
1.52	-2.03	-2.51	3.69	-1.6	-2.32	-1.16	-1.24	-0.62	14.85	3.37	6.33	

- 1.27	-2.38	-3.83	1.97	0.96	2.23	1.72	1.15	0.79	2.76	15.59	5.19
- 0.53	-2.28	2.19	0.35	3.58	3.94	14.03	1.41	4.84	98.41	4.85	2.2
- 1.27	-2.88	-1.63	- 0.51	2.46	0.93	0.84	-0.48	0.4	36.97	6.46	11.17
- 0.98	-1.58	-2.69	0.43	1.84	1.16	0.76	1.09	2.01	7.83	3.07	1.81

-	-	-	0.92	2.29	2.58	2.76	0.83	2.08	22.2	7.97	6.32
Average $\pm$	1.34	0.5	0.37	$\pm$	$\pm$	$\pm$	$\pm$	$\pm$	5	$\pm$	$\pm$
SD	$\pm$	$\pm$	$\pm$	1.75	2.36	2.67	4.82	1.69	2.7	$\pm$	5.53
	2.32	2.4	2.53						32.7		
			7								
Median	-	-	-	0.58	2.15	2.89	1.23	0.83	1.03	9.16	6.05
	1.11	1.8	0.01								5.72
p-value	0.46	0.3	0.38	0.02	0.04	0.05	0.11	0.19	0.25	0.01	0.03
	2					1					0.02

أظهر تحليل منحنيات DVHs لجميع المرضى بأن  $D_{95\%}$  أفضل عند استعمال  $T_1$  :

حيث كانت  $P_{T1,T4} = 0.05$  ،  $P_{T1,T3} = 0.04$  ،  $P_{T1,T2} = 0.02$  ، وكذلك أيضاً بالنسبة ل  $V_{100\%}$  حيث كانت  $P_{T1,T4} = 0.02$  ،  $P_{T1,T3} = 0.03$  ،  $P_{T1,T2} = 0.01$  أما بالنسبة ل  $V_{95\%}$  لم يلاحظ أي اختلاف جوهري بين التقنيات.

تعود أفضلية  $T_1$  ذات المركز الواحد إلى: إدخال وريقات محدد الحزمة متعدد الشرائح Multi Leaf Collimators (MLC) الموجودة في رأس المسعر الخطي في تنفيذ خطط العلاج  $T_1$  و  $T_2$  و  $T_3$  و  $T_4$  وذلك ضمن حجم الهدف المخاطط لتقليل الجرعة العظمى في منطقة الاتصال مما يؤدي لحجب جزء بسيط من حجم الورم وبالتالي تغطية أقل عند  $V_{100\%}$  عند استعمال تقنيات مركزي المعالجة بينما لم تؤثر على  $V_{95\%}$ .

تم استنتاج قيم  $D_{min}$  و  $D_{max}$  و  $D_{mean}$  من منحنيات DVHs يوضحها الجدول (8).

ونبين الاختلاف بين التقنيات لكل منطقة معالجة في الجدول (9).

الجدول (8): يوضح قيم  $D_{min}$  و  $D_{max}$  و  $D_{mean}$  في مناطق المعالجة (جدار الصدر Chest Wall ، فوق الترقوة Supraclavicular)

Patient	Chest Wall											
	Dmin				Dmax				Dmean			
	T1	T2	T3	T4	T1	T2	T3	T4	T1	T2	T3	T4
1	28.6	27.1	28.2	27.4	56.5	65.7	58.774	60.1	59	57.9	58.3	57.2
	5		1	3	8	6		4		1	2	3
2	24.2	24.4	25.4	24.9	54.9	54.7	53.881	54.4	50.8	50.0	50.3	49.8
			6	4		1		3	8	4	7	2
3	24.0	21.7	23.2	22.8	68.0	67.5	67.646	67.2	59.8	58.7	58.7	58.2

	2		3	9	4				2	7	6	5
4	21.3	15.2	19.9	17.8	65.8	65.6	64.41	64.7	59.0	58.4	58.3	58.4
	8	8	7	9	7	1		6	1	8	7	2
5	26.1	20.9	20.1	21.5	66.4	66.2	65.42	64.1	57.7	58.8	59.7	58.9
	3	4	3	3	3	3		5	4	8	4	7
6	23.9	19.0	21.5	20.7	66.5	67.2	67.97	68.6	60.1	59.7	58.6	59.3
	2	9	6	8				3	4	5	5	6
7	24.7	24.7	24.2	24.0	54.1	55.9	55.17	55.7	50.8	50.9	51.8	51.6
	7	8	3	8	4	1		2	9	8	8	8
8	14.8	13.0	12.6	13.2	55.1	55.7	56.09	55.9	50.8	51.9	51.7	52.6
	1	7	7	0	8	7		7	8	3	1	4

Supraclavicular												
Patient	Dmin				Dmax				Dmean			
	T1	T2	T3	T4	T1	T2	T3	T4	T1	T2	T3	T4
1	27.5	24.6	25.73	26.1	49.1	49.1	50.2	49.8	46.5	45.2	44.9	45.0
	6	3		3	1	5	4	6	7	5	4	2
2	39.0	37.0	37.78	37.2	51.4	51.2	51.2	50.4	47.8	47.3	47.1	47.3
	9	1		2	6		6	4	5	7	1	4
3	35.2	18.0	24.15	26.2	49.6	48.3	48.0	47.4	46.6	46.2	45.5	46.4
	6	2		9		4	7	9	6		6	
4	27.3	27.1	26.87	27.1	51.2	58.2	54.7	55.9	47.3	46.7	46.4	46.3
	5			2	2	3	6	6	6	8	9	2
5	30.2	28.1	28.98	28.3	50.7	56.6	52.7	53.3	47.3	47.4	48.8	48.8
	3				7	7	3	2	3	1	1	7
6	29.5	24.7	25.16	24.2	52.9	52.5	52.1	51.6	47.2	46.6	45.9	46.0
	7	3		6	5	5	2	6	7	1	4	6
7	33.1	32.9	32.9	32.2	49.3	52.4	51.4	52.3	47.0	46.8	46.7	46.4
	6	1		9	1	4	2	3	3	9		3
8	40.1	38.0	38.87	38.4	49.6	50.1	51.3	50.9	47.3	47.5	48.0	47.9
	6	8		3	5	5	4	6	9	4	8	6

الجدول (٩) : يمثل قيم الاختلاف لـ  $D_{\text{min}}$  و  $D_{\text{max}}$  و  $D_{\text{mean}}$  في مناطق المعالجة (جدار الصدر Chest Wall ، فوق الترقوة Supraclavicular)

#### .(Supraclavicular

Chest Wall									
$\Delta Dose-\text{Max}$			$\Delta Dose-\text{Mean}$			$\Delta Dose-\text{Min}$			
	T1,T2	T1,T3	T1,T4	T1,T2	T1,T3	T1,T4	T1,T2	T1,T3	T1,T4
	-	-	-	1.887	1.154	3.087	-	1.592	5.610
	13.72	3.739	5.925				0.048		

		- 0.067	1.695	0.852	2.919	1.010	2.129	0.757	- 4.930	- 2.959	
		0.338	0.575	1.241	1.677	1.792	2.701	13.28 7	3.405	4.900	
		0.500	2.262	1.720	0.000	1.098	1.015	5.449	7.007	19.48 2	
		- 3.164	1.539	3.543	- 0.175	- 3.356	- 2.093	24.72 3	29.62 8	21.21 8	
		- 5.958	- 2.168	- 3.099	- 0.099	- 2.525	- 1.302	7.573	10.93 7	15.08 4	
		- 1.062	- 1.876	- 2.847	- 1.945	- 1.918	- 1.532	25.29 1	2.229	2.848	
		- 0.993	- 1.639	- 1.426	- 0.291	- 1.603	- 3.345	19.55 0	16.80 7	12.17 1	
Average		-	-	-	0.497	0.088	0.408	12.07	8.334	9.794	
±		3.016	0.419	0.743	±	±	±	3	±	±	
SD		± 4.834	± 2.209	± 3.122	1.550	2.091	2.410	± 10.22 1	10.80 2	8.539	
Median		- 1.027	- 0.532	- 0.287	- 0.049	1.054	1.159	10.43 0	5.206	8.891	
p-value		0.78	0.53	0.61	0.37	0.49	0.38	0.046	0.017	0.021	

Supraclavicular										
		ΔDose-Max			ΔDose- Mean			ΔDose- Min		
		T1,T2	T1,T3	T1,T4	T1,T2	T1,T3	T1,T4	T1,T2	T1,T3	T1,T4
		0.157	-2.247	-1.500	1.213	3.638	3.440	10.331	7.136	5.516
		-10.416	0.388	2.028	1.422	1.564	1.065	95.628	3.242	4.804
		-1.039	3.197	4.441	1.787	2.425	0.568	39.887	46.011	34.083
		0.752	-6.472	-8.478	1.004	1.867	2.245	0.552	1.626	0.679
		0.772	-3.722	-4.771	0.910	-3.029	-	5.742	6.802	4.310
		3.141								
		2.617	1.581	2.493	1.240	2.895	2.638	11.937	17.507	21.851
		0.402	-3.858	-5.524	0.311	0.722	1.292	-0.844	0.790	2.691
		-12.05	-3.280	-2.563	-2.026	-1.428	-	5.623	3.308	4.483
		1.182								
Average		-2.350	-1.802	-1.734	0.733	1.082	0.866	21.107	10.803	9.802
±		± 5.59	± 3.24	± 4.47	± 1.19	± 2.26	± 2.15	± 32.70	± 15.17	± 11.77

Median	0.28	-2.76	-2.03	1.11	1.72	1.18	8.04	5.06	4.64
p-value	0.78	0.53	0.61	0.37	0.49	0.38	0.046	0.017	0.021

يلاحظ من الجدول أن قيمة  $D_{min}$  أعلى باستعمال  $T_1$  و يوجد اختلاف جوهري بين التقنيات لأن قيمة p-value كانت  $P_{T1.T4} = 0.021$  ،  $P_{T1.T3} = 0.017$  ،  $P_{T1.T2} = 0.046$  بينما لم يظهر اختلاف جوهري بين التقنيات من أجل  $D_{max}$  ، وكذلك الأمر من أجل  $D_{mean}$ .

**الأعضاء المتوقع تضررها OAR:** يبين الجدول (11.12.13) نتائج قياس الجرعة  $D_{max}$  و  $D_{mean}$  والدراسة الإحصائية لقيم الاختلاف بين التقنيات من أجل الرئة والقلب والنخاع الشوكي.

**الجدول (10):** يوضح نتائج جرعة  $D_{max}$  و  $D_{mean}$  و قيم الاختلاف لهما في الرئة من منحنيات DVHs.

Patient	Lung													
	Dmax				Dmean				ΔDose-Max			ΔDose-Mean		
	T1	T2	T3	T4	T1	T2	T3	T4	T1T2	T1T3	T1T4	T1,T2	T1,T3	T1,T4
1	63.7	63.14	62.73	63.03	12.415	11.85	11.67	12.11	0.93	1.57	1.09	0.13	6.34	2.6
2	53.74	51.91	52.36	51.78	14.499	15.98	16.04	14.96	3.51	2.65	3.78	0.316	9.62	-3.1
3	63.51	61.96	62.29	62.85	15.074	17.96	18.43	17.7	2.51	1.96	1.05	-	18.21	-
4	57.94	59.7	59.89	60.54	10.596	10.77	11.12	11.44	-	-	-	-	-4.74	-
5	61.89	62.55	63.25	63.42	7.801	9.53	9.48	8.97	-	-	-2.4	-1.63	-	-
6	53.3	54.11	53.97	54.67	5.69	8.73	7.98	8.45	-	-	-2.5	-	-	-
7	51.98	53.15	54.55	52.98	13.646	13.6	14.33	14.7	-	-4.7	-	-9.28	-4.75	-7.2
8	52.62	51.59	50.89	51.03	15.05	15.04	15.11	14.95	1.99	3.4	3.11	4.71	-0.35	0.65

Average ± SD	0.17 ± 2.38	-0.22 ± 3.01	-0.26 ± 2.9	9.36 ± 13.17	-2.8 ± 15.04	-9.4 ± 11.2
Median	-0.07	0.17	-0.42	-5.45	-2.54	-7.26
p-value	0.398	0.410	0.364	0.634	0.494	0.720

**الجدول (11):** يوضح نتائج جرعة  $D_{max}$  و  $D_{mean}$  و قيم الاختلاف لهما في القلب من منحنيات DVHs.

Patient	Heart													
	Dmax				Dmean				ΔDose-Max			ΔDose-Mean		
	T1	T2	T3	T4	T1	T2	T3	T4	T1T2	T1T3	T1T4	T1,T2	T1,T3	T1,T4
1	60.48	52.54	55.98	54.76	4.32	3.43	3.03	3	15.11	8.026	10.4	-	42.65	43.93

												4.22		
2	40.64	44.04	42.87	43.72	1.76	2.65	3.21	2.78	-7.71	-5.21	- 7.04	16.2 7	- 44.9 7	- 36.4 6
3	5.86	11.46	10.76	12.35	1.18	1.23	1.77	2.08	-48.8	-45.5	- 52.5	36.2 8	- 32.8 9	- 42.9 8
4	49.359	57.47	56.87	55.76	7.26	7.37	7.78	8.04	-14.1	-13.2	- 11.4	- 4.76	-7.19	- 10.1 7
5	5.315	9.54	8.63	9.08	1.44	1.51	1.49	1.56	-44.3	-38.4	- 41.5	- 2.06	-3.74	-7.75
6	55.76	53.44	52.69	53.02	4.45	6.98	5.89	6.249	4.3	5.83	5.16	- 3.26	- 24.4 6	- 28.7 8
7	49.34	49.83	51.05	50.12	5.946	5.11	4.88	5.11	-0.9	-3.33	- 1.56	- 33.3 7	21.62	16.43
8	51.75	51.20	51.02	50.66	8.723	9.11	9.46	10.02	1.1	1.43	2.15	25.8 2	-7.78	- 12.9 7

Average $\pm$ SD	-11.9 $\pm$ 23.03	-11.3 $\pm$ 20.14	-12.03 $\pm$ 22.79	-5.23 $\pm$ 21.4	-7.10 $\pm$ 28.6	-9.85 $\pm$ 28.69
Median	-4.34	-4.27	-4.30	-3.74	-7.49	-11.57
p-value	0.240	0.450	0.320	0.309	0.440	0.250

الجدول (12): يوضح نتائج جرعة  $D_{mean}$  و  $D_{max}$  و قيم الاختلاف لهما في النخاع الشوكي من منحنيات DVHs.

Patient	Spinal Cord													
	Dmax				Dmean				ΔDose-Max				ΔDose-Mean	
	T1	T2	T3	T4	T1	T2	T3	T4	T1T2	T1T3	T1T4	T1,T2	T1,T3	T1,T4
1	28.51	25.15	26.25	26.74	1.98	1.64	1.86	2.02	13.34	8.62	6.59	- 16.5	6.5	- 1.58
2	29.41	28.49	28.66	28.94	1.43	1.87	1.96	2.41	3.24	2.62	1.62	-2.8	-27.2	- 40.7
3	30.3	14.8	22.6	25.7	1.3	1.1	1.5	1.2	14.4	33.6	17.7	0.19	-13.7	7.14
4	34.2	30.1	32.2	31.7	2.2	1.9	1.8	1.9	13.7	6.44	7.84	2.94	21.16	14.6
5	24.21	24.22	25.13	24.65	2.03	1.97	1.33	1.87	-0.04	-3.65	-1.7	16.0 7	52.67	8.15

6	16.53	14.19	14.64	15.23	1.52	1.51	1.48	1.42	16.42	12.85	8.5	17.0 4	1.88	6.5
7	26.8	27.9	27.57	28.12	2.02	2.07	2.1	2.2	-3.98	-2.81	-4.7	- 23.5	-2.4	-6.7
8	13.79	21.33	19.03	17.95	1.46	1.75	1.97	1.65	-35.3	-27.5	-23	20.8	-25.6	- 11.4

Average ± SD	13.98 ± 40.1	3.77 ± 17.23	1.58 ± 12.15	1.79 ± 16.02	1.67 ± 26.28	-2.98 ± 17.46
Median	8.29	4.53	4.11	1.57	-0.27	2.47
p-value	0.379	0.270	0.180	0.352	0.100	0.330

يلاحظ عدم وجود اختلاف جوهري بين التقنيات ( $p > 0.05$ ). حيث كانت الجرعة المستلمة من أجل الرئة أقل من 20% و  $V_{30\%}$  أقل من 30% من الجرعة الموصوفة، على الترتيب. كما كانت الجرعة العظمى للنخاع الشوكى وللأكمال حجم القلب أقل من 45Gy و 35Gy بالترتيب.

**مؤشرات الجودة:** تم حساب (CI) و (TCI) و (HI) ضمن PTV بكل تقنية، وذلك من العلاقات (6) و (7) و (8) على الترتيب ، وأظهار النتائج كما في الجدول(13):

الجدول(13): نتائج مؤشرات الجودة لدلائل المطابقة وتغطية الهدف وتجانس الجرعة لكل تقنية على الترتيب.

Patient	CI-T1	CI-T2	CI-T3	CI-T4
1	0.983	0.953	0.946	0.991
2	0.989	0.991	0.994	0.997
3	0.968	0.965	0.987	0.955
4	0.999	0.997	0.991	0.983
5	0.984	0.998	0.988	0.992
6	0.979	0.978	0.980	0.968
7	0.989	0.995	0.968	0.990
8	0.982	0.944	0.976	0.979
Average ± SD	0.979 ± 0.016	0.982 ± 0.014	0.978 ± 0.02	0.984 ± 0.01
Median	0.97	0.97	0.984	0.987
p-value	T1,2=0.15	T1,3=0.13	T1,4= 0.11	

Patient	HI-T1	HI-T2	HI-T3	HI-T4
1	1.257	1.301	1.325	1.312
2	1.109	1.154	1.177	1.143
3	1.111	1.101	1.106	1.109
4	1.140	1.140	1.141	1.144
5	1.274	1.295	1.279	1.301
6	1.070	1.090	1.082	1.060
7	1.284	1.307	1.301	1.304

8	1.130	1.136	1.139	1.133
Average $\pm$ SD	1.17 $\pm$ 0.085	1.19 $\pm$ 0.093	1.194 $\pm$ 0.094	1.188 $\pm$ 0.1
Median	1.135	1.147	1.159	1.144
p-value	T1,2=0.02	T1,3=0.01	T1,4=0.03	

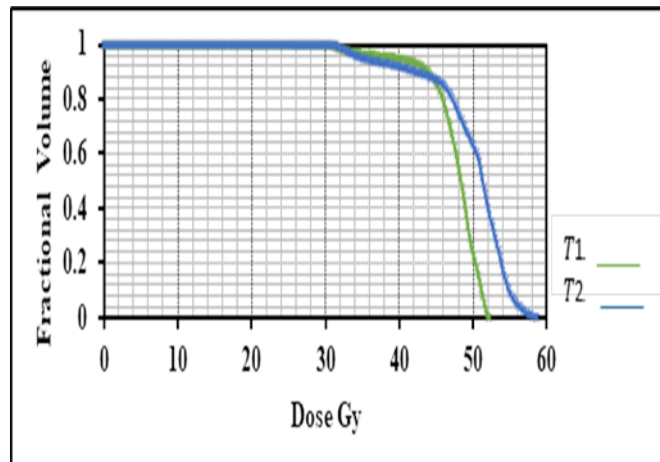
Patient	TCI-T1	TCI-T2	TCI-T3	TCI-T4
1	0.702	0.722	0.733	0.726
2	0.844	0.748	0.812	0.788
3	0.753	0.714	0.756	0.735
4	0.930	0.911	0.922	0.928
5	0.944	0.982	0.967	0.972
6	0.893	0.753	0.787	0.765
7	0.969	0.935	0.911	0.944
8	0.850	0.789	0.799	0.793
Average $\pm$ SD	0.86 $\pm$ 0.094	0.82 $\pm$ 0.11	0.84 $\pm$ 0.086	0.83 $\pm$ 0.09
Median	0.87	0.77	0.81	0.79
p-value	T1,2=0.01	T1,3=0.02	T1,4=0.01	

إن الاختلاف في قيم TCI، HI، D<sub>95%</sub> و D<sub>100%</sub> ناجم تلقائياً عن اختلاف توزع الجرعة عند  $V_{100\%}$  والموضحة في الجداول السابقة. تزود هذه المؤشرات مقارنة نوعية بين  $T_1$  وكل من  $T_2$  و  $T_3$  و  $T_4$  كما أنها تقيس درجة التمايز بين منحنيات تساوي الجرعة والجرعة الموصوفة، حيث أن تغيرات صغيرة في توزع الجرعة تؤدي لتغير كبير في قيم التمايز ولذلك يجب توخي الحذر عند تقييم خطة المعالجة بالاعتماد على دلائل الجودة.

#### منطقة الاتصال:

عند تحليل بيانات جميع المرضى في منطقة الاتصال لوحظ أن قيمة الجرعة العظمى D<sub>max</sub> هي أعلى باستعمال تقنيات مركزى المعالجة ويظهر اختلاف جوهري بينها من خلال قيم p-value ، بينما لم يظهر اختلاف جوهري بين التقنيات من أجل الجرعة الصغرى D<sub>min</sub>.

يعزى السبب في كون الجرعة في منطقة الاتصال باستعمال  $T_2$  ،  $T_3$  ،  $T_4$  أكبر من  $T_1$  لحدث التداخل بين وريقات MLC للحقول المطبقة على الرغم من دوران طاولة المسرع ومحدد الحزمة، مما ينتج جرعة عالية (Over Dose) غير مرغوب بها في منطقة الاتصال، كما هو موضح بالشكل (11).



الشكل (11): منحنيات DVH لمريض يأخذ جرعة 50Gy في منطقة اتصال الحقول الناتجة من معالجة منطقى جدار الصدر وفوق الترقوة لكلٍ من  $T_2$  و  $T_1$ .

### الاستنتاجات والتوصيات:

#### الاستنتاجات:

قدم هذا البحث تقييم شامل عن جودة تقنيات المعالجة الإشعاعية (3D – CRT) لمرضى أورام الثدي باستعمال مركز معالجة مفرد، ومركزى معالجة. وأظهرت النتائج:  
- أن تقنية المعالجة بمركز واحد  $T_1$  تُخفض عدد وحدات المراقبة MU ( $p < 0.05$ ) مما يقلل زمن المعالجة ويساعد على أطاله عمر الجهاز من جهة وتقليل التعرض الإشعاعي للمرضى والعاملين من جهة أخرى.

- من ناحية تحليل منحنيات جرعة حجم DVH وجدنا أن  $T_1$  تدخل تحسيناً للجرعة العظمى  $D_{max}$  والجرعة المنخفضة  $D_{min}$  و  $V_{100\%}$  و  $D95\%$  بدون جرعة عالية في منطقة الاتصال، بينما ليس هناك أي اختلاف جوهري بين التقنيات من أجل جرعة OAR ( $p > 0.05$ ).  
- إن استخدام  $T_1$  يلغى الحاجة لتحريك طاولة جهاز المعالجة أو تحريك المريض أثناء عملية المعالجة وهذا له إسهام بتقليل الأخطاء البشرية المتوقعة.  
من الأمور المهمة والتي تعتبر من حدود استعمال  $T_1$  هو ألا تتجاوز منطقة المعالجة 20cm من كل جانب من جوانب مركز المعالجة Isocenter بسبب استعمال الحزم النصفية (أكبر حزمة يمكن الحصول عليها  $40 \times 40 cm^2$  وذلك عند استعمال حزمة كاملة).

#### التوصيات:

وبالمقارنة مع مراجع ودراسات سابقة كما في المراجع [5-8] نجد أن نتائج التقنية أحادية المركز تتفق مع هذه الدراسة وتدخل تحسيناً للجرعة في حجم الهدف PTV .  
وبناءً على ما سبق يوصى باستخدام تقنية المعالجة بمركز واحد  $T_1$  عند المعالجة الشعاعية لمرضى أورام الثدي ودرجة وثيقته عالية.

## المراجع:

- [1] - نحيلي، ماجدة؛ حمودي، محمد. *أمثلة الحقول المتأخمة في المعالجة الإشعاعية بحزم خارجية*. أطروحة دكتوراه، جامعة دمشق، 2023.
- [2]- Ayfer Haydaroglu, Gokhan Ozyigit. *Principles and Practice of Modern Radiotherapy Techniques in Breast Cancer*, 2013. P. (183-202)
- [3]- Nancy Y. Lee, Jiade J. Lu. *Radiation Therapy Techniques and Treatment Planning for Breast Cancer*, Switzerland 2016. P (4-24).
- [4]- Gregory M. M. Videtic, MD, CM, FRCPC. *Handbook of Treatment Planning in Radiation Oncology*, 2015. P (71.84).
- [5]- F. Gulşen Kara1, Haydaroğlu1. A, Eren1. H. *Comparison of Different Techniques in Breast Cancer Radiotherapy Planning*. J Breast Health 2014; 10: 83-87.
- [6]- Abdus Sattar Mollah and Meher Niger Sharmin. *Dosimetric Comparison of Different 3DCRT Techniques in Left Breast Cancer Radiotherapy Planning*. Bangladesh J. Nucl. Med 2014; Vol. 17 No. 2.
- [7] Assaoui F, Toulba A, Nouh M. *Mono-Isocentric Technique in the Breast Cancer and Organ at Risk Tolerance*. Nucl Med Radiat Ther 2012; S:2.
- [8] Romeo, N. (2012). *A new isocentric technique for exact geometric matching in the radiotherapy of the breast and ipsilateral supraclavicular fossa using dual asymmetric jaws*. Phys Med. 28:281-287.
- [9] M. Hmodi. *Dosimetric evaluation of whole breast radiotherapy using field in field FIF and hard wedge HW techniques in early stage breast cancer*. J Basic Sci. Damascus University; 2015.
- [10]- Varian Medical Systems. "Eclipse Photon and Electron Algorithms Reference Guide." (2015).
- [11]- International Atomic Energy Agency (IAEA). (2000). *Absorbed dose determination in external beam radiotherapy: An international code of practice for dosimetry based on standards of absorbed dose to water*. Technical Report Series No. 398, IAEA, Vienna, p:59.
- [12]- John P, John A, David S, et al. (2014). *Monitor unit calculations for external photon and electron beams: Report of the AAPM Therapy Physics Committee Task Group No. 71*. Med Phys. 41(3):031501.
- [13]- H. A. Sharyan, A. R. Tolba. *Dosimetric Comparison of 3DCRT Versus RapidArc in Terms of Iso-dose Distribution*, Dose Volume Histogram and Dosimetric Results for the PTV and Critical Organs for Glioblastoma (GBM). American Journal of Medicine and Medical Sciences 2015, 5(5): 208-219.
- [14]- Chaikh, A., Giraud, JY., Perrin, E., et al., (2014). *The choice of statistical methods for comparisons of dosimetric data in radiotherapy*. Radiation oncology, 9, 1, p: 205.
- [15]- Warlick WB, O'Rear JH, Earley L, Moeller JH, Gaffney DK, Leavitt DD, 1997. *Dose to the contralateral breast: a comparison of two techniques using the enhanced dynamic wedge versus a standard wedge*. Med Dosim, 22: 91-183
- [16]- Seppenwoolde Y, Lebesque JV, de Jaeger K, et al, 2003: *Comparing different NTCP models that predict the incidence of radiation pneumonitis. Normal tissue complication probability*. Int J Radiat Oncol Biol Phys 55:724-735.